

# プレキャストコンクリート耐震壁の開発研究（その3）

一座屈防止を施したプレースを内蔵したコンクリート耐震壁の実験報告一

木村耕三 吉岡研三  
武田寿一 古屋則之  
竹本靖 中山達雄

## Research and Development on Precast Concrete Shear Walls (Part 3)

—Concrete Shear Walls with Steel Braces Prevented from Buckling—

Kohzoh Kimura Kenzoh Yoshioka  
Toshikazu Takeda Noriyuki Furuya  
Yasushi Takemoto Tatsuo Nakayama

### Abstract

The purpose of this report is to present the test results of precast concrete shear walls strengthened by two kinds of steel braces intended to yield under compression before buckling occurs. In one of the specimens, the compression brace and the tension brace are connected by deformed bars. In another specimen, the steel braces, in order to avoid buckling, are sheathed by square pipes and mortar. By this means, buckling of the compression brace is eliminated. As a result of the experiments, the former was deformed up to the rotation angle of member of  $R=1/75$ , the latter up to  $R=1/50$ , and stable load-deflection curves were obtained. The former is thought to be quite practical from the viewpoints of work execution and economy.

### 概要

本報告は、中高層建物の耐震要素の開発を目的とした研究の一環として、コンクリート壁には、プレースの座屈防止のための拘束効果を期待せず、プレース自身を圧縮降伏まで座屈させない様に工夫することによって、より大きな韌性をもたらした2体のプレース入り耐震壁の実験報告である。試験体の1体は、圧縮、引張両プレースを異形鉄筋でつなぎ座屈防止を施したものと、もう1体は鋼管およびモルタルで被覆したプレースを壁体内に用いた壁体である。実験の結果、前者では部材角 $1/75$ 、後者では部材角 $1/50$ まで変形能があり、従来の可撓耐震壁に比べて変形能およびエネルギー吸収の面で非常に優れた耐震壁であることがわかった。特に、前者は施工性、経済性の面からも十分に実用性が大きいと思われる。

### 1. 序

本報告は中高層建物を対象とした耐震要素の開発を目的とした研究の一環として今までの実験結果<sup>1)</sup>を検討し、さらにより韌性のある耐震壁の開発を目指して行なった耐震壁の実験に関するものである。

現在プレキャスト耐震壁をもつ鉄骨鉄筋コンクリート構造ではプレース材として、一般に鋼板を用い、コンクリート壁によって鋼板の座屈を防止させることを前提として設計を行なっている。しかし実際にはコンクリート壁体内に鋼板のプレースを埋め込んだ場合には、繰返し

加力により鋼板に沿ったひびわれが生じ、変形が大きくなるにつれてコンクリートがはく落し、プレースの座屈へと進んでいく。そのため筆者らは、コンクリート壁によってプレースの座屈を拘束しながら、プレースの座屈に先行させてシアパネルなどプレース以外の部分を降伏させて安定した履歴特性を得る方法について実験を行い、一応の成果を得ている<sup>2)</sup>。今回の報告では、コンクリート壁にはプレースの座屈拘束効果は期待せず、プレース自身にエネルギー吸収および変形能を増す工夫を施し、壁体の履歴特性の改善を目的としたプレース入り耐震壁の実験報告である。

	降伏応力度 $\sigma_y(t/cm^2)$	降伏ひずみ $\epsilon_y(\times 10^{-6})$	最大応力度 $\sigma_{max}(t/cm^2)$	弾性係数 $E(t/cm^2)$
柱フランジ(II-6)*	2.82	1547	4.17	1953
プレース(II-11)*	2.78	1508	4.54	2030
鉄筋(D-13)**	3.60	2082	5.46	1787

\* SS41 \*\* SD30

表-1 鋼材の素材試験結果

	設計強度 (kg/cm <sup>2</sup> )	スランプ (cm)	W/C (%)	水 (kg/m <sup>3</sup> )	セメント (kg/m <sup>3</sup> )	砂*1 (kg/m <sup>3</sup> )	砂利** (kg/m <sup>3</sup> )	ボルトレス No.5L (g/m <sup>3</sup> )
コンクリート	180	18	73	205	280	801	960	518
モルタル	300		C:S 1:3.5	313	391	1369		

\*1 砂径1.2mm以下 \*2 砂利径10.0mm以下

表-2 コンクリート、モルタルの調合

## 2. 実験概要

### 2.1. 試験体

試験体は2  
体でその形状

および寸法は、表-3 コンクリート、モルタルの強度  
図-1に示す

通りである。TYPE-Bは、平鋼プレースを壁面に直角に挿入し、圧縮・引張プレースを異形鉄筋でつなぐ形式で、圧縮プレースの座屈長さを異形鉄筋の補剛によって短かくし、座屈を生じにくくするものである。プレースの細長比は、補剛材を除くと188、補剛材を考慮すると57、45、30である。この形式では仮に端部でプレースが座屈を生じても局部座屈でとどまり、履歴特性では大きな耐力低下や、極端なスリップ現象は現われないと考えられる。TYPE-Cは、前報<sup>2)</sup>で良好な履歴が得られた鋼管およびモルタルで被覆した鉄骨プレースを鉄骨フレームに組込んだ耐震壁である。このプレースの被覆材を無視した場合の細長比は252で、被覆材を考慮すると細長比は66である。

### 2.2. 試験体の材料特性

表-1に柱フランジ、プレースおよび鉄筋の引張試験結果を、表-2にコンクリートおよびモルタルの調合表と、さらに、表-3にはそれらの圧縮試験結果を示す。

### 2.3. 実験方法と測定方法

図-1に示す試験体の両柱脚を加力用フレームに高力ボルトで締め付けて固定し、上梁の中心線と加力用ジャッキのセンターとが一致する様にして交番繰返し載荷を行なった。載荷は、容量100tの油圧式手動ジャッキで行な

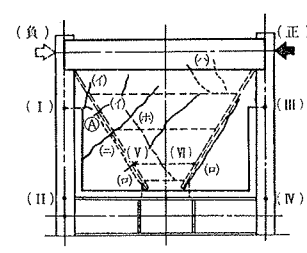


図-2 TYPE-B 実験経過

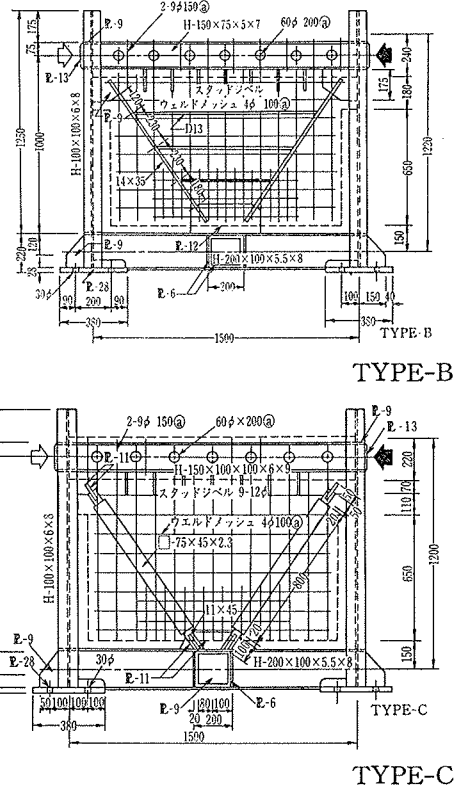


図-1 試験体の形状、寸法

い、荷重は100t

ロードセルにより検出した。変形は、上梁および下梁の中心線上かつ、壁体の中央での水平方向変形量の差を壁体の水平方向変形と定義し、この水平方向変形により部材角1/500, 1/250, 1/125, 1/75, 1/50, 1/30でそれ

ぞれ2回ずつ繰返し載荷を行なった。鉄骨柱の柱頭、中央、柱脚のフラン

ジ部およびプレースの端部、中央部

での軸方向ひずみを検査用ワイヤーストレインゲージ（東京測器 FLA-3）によって測定した。

### 2.4. 実験結果

1) TYPE-B 第1サイクルの荷重6.0t時に壁体の隅角部および壁体上部にひびわれ（図-2(i)）が入り、荷重の増大によって両プレースに沿ったひびわれが入り、

サイクル	荷重(t)	ひびわれ、降伏発生状況*
1	6.0	ひびわれ(i)
	17.0	ひびわれ(ii)
	- 4.0	ひびわれ(i)
	- 8.0	ひびわれ(ii)
3	27.0	引張プレース降伏開始
	32.0	ひびわれ(A, (B))が増大
	36.0	引張プレース全面降伏
	- 34.0	ひびわれ(ii)
5	36.0	柱脚(I)降伏
	37.5	両プレースに沿ったひびわれが増大
	- 39.0	柱頭(II), 柱脚(IV)降伏
	- 36.0	圧縮プレース下部で座屈
7	20.0	同上
	30.0	つなぎ鉄筋(V)降伏
	- 26.0	柱頭(I)降伏
	- 30.0	つなぎ鉄筋(V)降伏
10	30.0	つなぎ鉄筋(V)破断
	- 11.6	つなぎ鉄筋(V)溶接部にきずつ
11	11.6	引張プレース下端部で破断

\*図-2 を参照

表-4 TYPE-B 破壊経過

荷重の増大によって両プレースに沿ったひびわれが生じた。引張プレースに沿ったひびわれは、つなぎ鉄筋の近くで局部的にとまるが圧縮プレースに沿ったひびわれは荷重の増大とともに進展した。正荷重時で引張プレースの降伏域が拡がる過程で壁体上部(図-2④)とプレース下部のひびわれ(図-2⑤)幅が大きく拡がった。さらに荷重の増大にともない、引張プレース下部および圧縮プレースに沿ったひびわれ幅が増大して耐力が低下した。経過を表-4に、最終状況を写真-1に示す。

## 2) TYPE-C 第1サイクルで鋼管の下

サイクル	荷重(t)	ひびわれ、降伏発生状況*
1	20.0	ひびわれ①
2	25.2	ひびわれ②, ③
3	-18.0	ひびわれ④
4	24.0	引張圧縮プレース端部降伏
5	28.0	引張プレース全面降伏
6	36.0	柱頭(I), 柱脚脚降伏
7	36.0	圧縮プレース端部コンクリートはく落
8	40.0	圧縮プレース端部局部座屈
9		钢管端部破断
11		

\*図-3を参照

表-5 TYPE-C 破壊経過

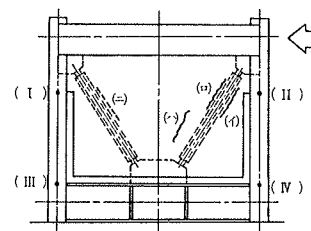


図-3 TYPE-C 実験経過

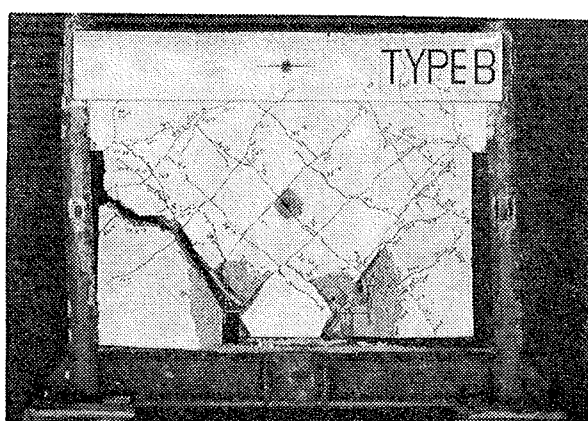


写真-1 TYPE-B 破壊状況

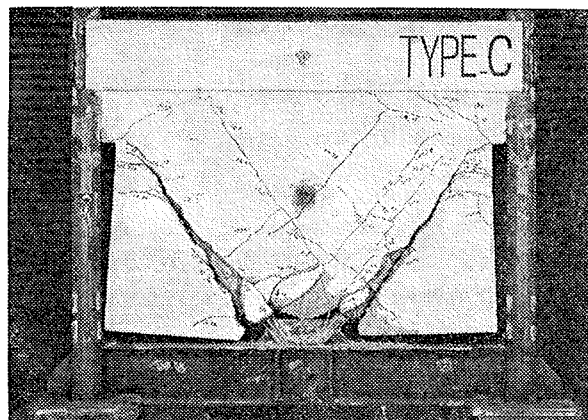


写真-2 TYPE-C 破壊状況

側面沿ったひびわれ(図-3④)が生じ、つづいて钢管の上側に沿ったひびわれ(図-3⑤)と壁体の中ほどに斜めせん断ひびわれ(図-3⑥)が生じた。両プレースの端部が降伏したことにより、圧縮プレースに沿ったひびわれが大きく進展し、さらにプレースの下端部に細かくひびわれが生じた。柱頭(I), 柱脚脚降伏した後、圧縮プレース端部のコンクリートがはく落し、つづいてプレース端部が局部座屈を起して耐力が低下した。この局部座屈によって钢管の下側のひびわれ幅が大きくなるとともに、钢管の端部が破断した。経過を表-5に、最終状況を写真-2に示す。

## 3. 実験結果と考察

### 3.1. 解析

(1) コンクリート壁体を考慮した F.E.M. による解析  
壁体の弾性剛性を求めるためにコンクリートと鋼材が完全に付着しているという仮定のもとで、プレースのみを線材に置換し、コンクリート壁体を考慮した F.E.M. 解析を行なった。この解析結果は、後述する解析値①に相当する。プレースの断面積は、 $4.90 \text{ cm}^2$  で、TYPE-B のつなぎ鉄筋および TYPE-C の钢管は無視した。

(2) 鉄骨架構のみの弾塑性解析  
TYPE-B について  
プレースは線材に、柱と梁は平面要素に置換し、つなぎ鉄筋を考慮した鉄骨架構の弾塑性解析を行ない、その

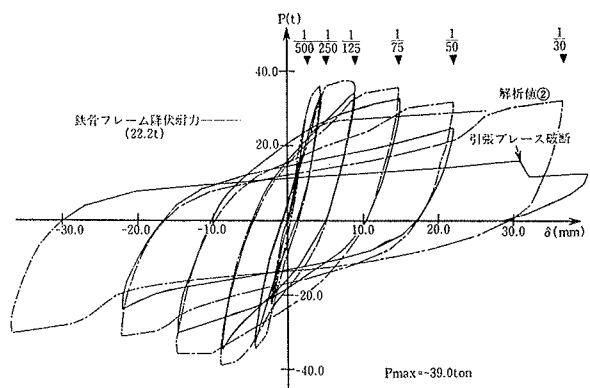


図-4 荷重-変形曲線 (TYPE-B)

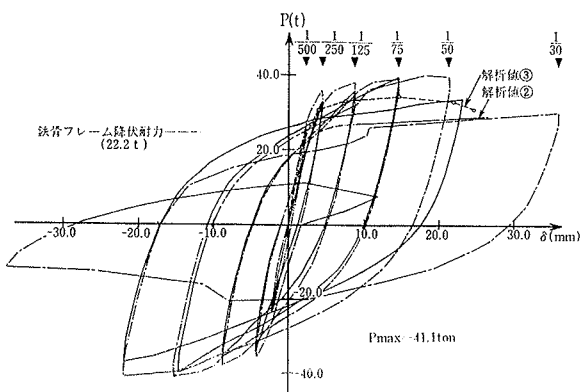


図-5 荷重-変形曲線 (TYPE-C)

結果は、後述の解析値②に相当する。解析では、鋼材の弾性係数は、 $2,100 \text{ t/cm}^2$  とし、降伏後の剛性は、弾性時の  $1/200$  ( $10.5 \text{ t/cm}^2$ ) とした。鋼材の降伏応力度は素材試験結果より  $\sigma_y = 2.8 \text{ t/cm}^2$  とした。

(3) 累加強度による解析 TYPE-B の実験で得られた包絡線と鉄骨架構のみの解析値（解析値②）の差がコンクリート壁体自身の荷重一変形曲線であると仮定すると、TYPE-C の荷重一変形曲線の包絡線は TYPE-C の鉄骨架構と上記のコンクリート壁体の荷重一変形曲線の和として得られる。TYPE-C の鉄骨架構の荷重一変形曲線を求めるために必要な架構に組んだ鋼管およびモルタルで被覆したブレース自身の荷重一変形曲線は、前報<sup>2)</sup>で得られているので、その結果を用い、図-6に示す様にモデル化した。また、フレームについては梁を剛と仮定（軸方向変形を無視）して柱の変形のみを考慮した。図-7はこの様にして求めた柱、ブレース、壁の各々の荷重一変形曲線を示す。これらを累加して求めた荷重一変形曲線が図-5に示す解析値③である。

### 3.2. 荷重一变形曲線

図-4、図-5にTYPE-BおよびTYPE-Cの荷重-変形曲線を示す。図中には、上記解析値もあわせて記入した。

### 3.2.1. 初期剛性と降伏耐力

3.2.1. 初期剛性と降伏耐力 表-6は、実験および解析で求めた初期剛性と降伏耐力を示す。表をみるとTYPE-Bでは解析値①が実験値より多少小さいが、TYPE-Cでは、鋼管による影響ではなく、実験値と解析値①がほぼ一致している。降伏耐力は、ブレースに貼りつけたひずみゲージの平均値が降伏ひずみを越えた時の荷重である。解析値②と③で降伏耐力に差があるのは図-6に示すブレースの降伏耐力で圧縮側の降伏耐力を引張側の降伏耐力より低く設定していることによる。

3.2.2. 最大耐力と変形 表-7に実験での最大耐力と大変形時（部材角1/50）での耐力および実験での最大耐力時、大変形時の変形に対応する解析から求めた耐力を一覧表にして示す。

3.2.3. 変形能 TYPE-B では部材角 1/125 で最大耐力に達したが、その後、部材角 1/75 までは耐力の低下も少なく、荷重-変形曲線も安定した。エネルギー吸収の

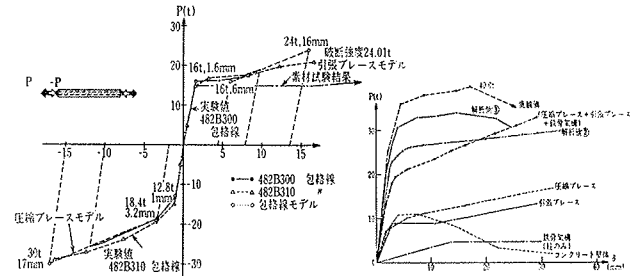


図-6 ブレースの包絡線  
モデル

	初期剛性 ( $\times 10^2 t/cm$ )			降伏耐力 (t)		
	実験値	解析値①	解析値②	解析値③	実験値	解析値②
TYPE-B	1.41	1.12	0.86	27.0	22.2	20.9
TYPE-C	1.14					

表-6 初期剛性と降伏耐力

	部材角 R	変形(mm)	実験値(t)	解析値②	解析値③
TYPE-B	1/125	7.70	37.5	26.8	
		- 8.85	-39.0		
	1/50	22.14	31.8	28.4	
		-22.05	-31.6		
TYPE-C	1/73	17.18	40.0	27.5	34.83
		-22.01	-41.1		
	1/50	21.39	39.7	28.4	32.75
		-22.12	-41.1		

表-7 最大耐力および大変形時の耐力と変形

大きい履歴を示す。部材角1/75での変形は、降伏時の変形 ( $\delta_y=0.3$  cm) に対して5倍に達する。TYPE-C では、部材角1/73で最大耐力に達した。荷重一変形曲線は TYPE-B と同様にエネルギー吸収および変形能の面で優れた履歴を示している。部材角1/73での変形は降伏変形の6倍である。この様に両者の有する変形能は、既に行なわれた鉄骨プレース内蔵の耐震壁の実験結果<sup>3)</sup>と比較して、一段と優れているといえる。

### 3.3. 壁体を構成する要素の負担力

表-8は、最大耐力時と大変形時(部材角1/50)での壁体を構成する各要素の負担力を示す。表中、最大耐力時には、TYPE-Bのブレースは降伏耐力に達しており、柱はTYPE-B, TYPE-Cとも柱頭、柱脚で全塑性モーメントに達していると仮定して、ブレースと柱の負担力を算出した。なお、表中、カッコ内の値は引張強度を用い

	部材角R	実験値(t)	柱負担力(t)	プレース負担力(t)	$\Sigma(t)$	壁負担力(t)	壁体の平均せん断応力度 $\tau_c$ (kg/cm <sup>2</sup> )
TYPE-B	1/125	37.5	4.6 (6.8)	16.3 (26.7)	20.9	16.60( 4.0 )	12.77(3.08)
		-39.0				18.10( 5.5 )	13.92(4.23)
	1/50	31.8			(33.5)	10.90( 1.7 )	8.38(1.31)
		-31.6				10.70( 1.9 )	8.23(1.46)
TYPE-C	1/73	40.0	4.6 (6.8)	23.73	28.33	11.67( 9.47 )	8.98(7.28)
		-41.1			(30.53)	12.77(10.57)	9.82(8.13)
	1/50	39.7		31.50	36.10	3.60( 1.40 )	2.77(1.08)
		-41.1			(38.30)	5.00( 2.80 )	3.85(2.15)

表-8 壁体を構成する要素の負担力

た値である。TYPE-Cのブレースの負担力は、図-7より、最大耐力時（部材角 $1/73$ ）と大変形時（部材角

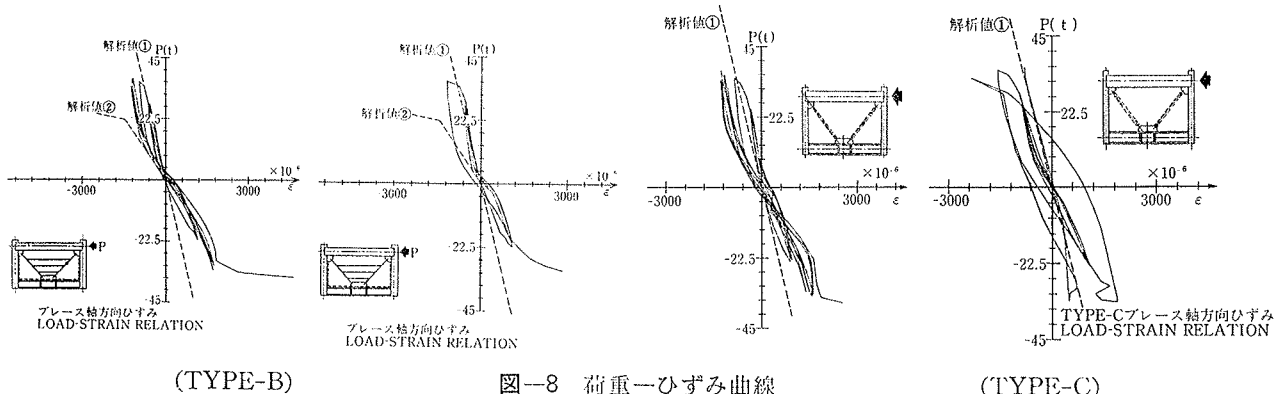


図-8 荷重一ひずみ曲線

1/50) の各変形に対応する水平負担力を求めた。壁の負担力は表-8 の実験値と鉄骨の負担力との差を壁が負担していると考えて算出した。壁体の平均せん断応力度は、壁体の負担力を壁体中央での断面積 ( $10\text{ cm} \times 130\text{ cm}$ ) で除した値である。

### 3.4. 荷重一ひずみ曲線

図-8 に TYPE-B および TYPE-C のプレース端部と中央部での荷重一ひずみ曲線を示す。TYPE-B と TYPE-C の履歴を比較すると、圧縮時に TYPE-B のひずみ値が幾分小さくなる傾向があるほか、履歴性状が、TYPE-C よりも逆S字型に近くなっている。引張側についてはあまり差が見られない。

### 3.5. ひずみ分布

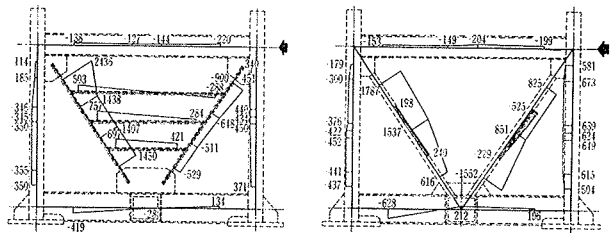
図-9 に第3サイクル荷重  $28.0\text{ t}$  時の TYPE-B のひずみ分布を、図-10 に第3サイクル荷重  $36.0\text{ t}$  時の TYPE-C のひずみ分布を示す。ひずみは、各測定点に貼りつけた数枚のゲージの測定値を平均した平均軸方向ひずみである。

## 4.まとめ

(1) 鋼管およびモルタルで被覆したプレースを内蔵した TYPE-C では、初期剛性は鋼管を無視し、コンクリート壁体とプレースとの間に完全付着を仮定した F.E.M. 解析値と一致する。また、TYPE-B ではつなぎ鉄筋の影響によって初期剛性は実験値の方が  $25\%$  程度大きくなっている。降伏耐力は、鉄骨架構のみの耐力に比べてコンクリート壁体の影響があり、TYPE-B で  $23\%$ 、TYPE-C で  $10\%$  程度大きくなっている。

(2) 最大耐力は計算による鉄骨架構のみの耐力に対して TYPE-B では  $1.4$  倍、TYPE-C では  $1.45$  倍となっている。

(3) 最大耐力時におけるプレースの水平力に対する耐力の負担率は、TYPE-B で  $43\%$ 、TYPE-C で  $59\%$ 、柱の負担率は両試験体とも  $12\%$  である。コンクリート壁体の負担率は TYPE-B で  $43\%$ 、TYPE-C で  $29\%$  であり、

図-9 ひずみ分布  
(TYPE-B)図-10 ひずみ分布  
(TYPE-C)

この時の壁体の平均せん断応力度は TYPE-B で  $13\sim14\text{ kg/cm}^2$ 、TYPE-C で  $9\sim10\text{ kg/cm}^2$  程度であった。

(4) 両試験体とも部材角  $1/75$  までは安定した履歴を示し、従来の可撓耐震壁と比較しても、変形能、エネルギー吸収の面で優れた性状を示すことがわかった。また、TYPE-B では一般に使用されている鋼板プレースを異型鉄筋（鋼板等でも可）でつなぐという比較的簡単な構造であり、施工性、経済性の面からも十分に実用性があると思われる。TYPE-C については、変形能、エネルギー吸収の面では TYPE-B よりも優れている上、コンクリート壁体を除いて、鉄骨造としても十分に変形能を有する架構として利用できると考えられる。なお、TYPE-C のプレース個材に関して実大寸法の試験体をもとに、さらに詳細な挙動、性状の把握を予定している。

## 参考文献

- 1) 武田、木村：プレキャストコンクリート耐震壁の開発研究（その1），大林組技術研究所報，No. 12，(1976)，pp. 38~42  
武田、木村、古屋：プレキャスト耐震壁の実験的研究（その1）、（その2），日本建築学会大会（昭和50）
- 2) 武田、木村：プレキャストコンクリート耐震壁の開発研究（その2），大林組技術研究所報，No. 14，(1977)，pp. 14~18  
武田、木村：プレキャスト耐震壁の実験的研究（その3）、（その4），日本建築学会関東支部，(昭和51)
- 3) 日本建築学会編：地震荷重と建築構造の耐震性，(1976)